

# Approximation de lois de conservation paramétrées

**Nicolas Seguin**

IMAG, Antenne Inria de l'Université de Montpellier

2e journée de l'ANR COSS, vendredi 22 mars 2024

Collaboration avec

- Clément Cardoën (LMJL, Nantes Université)
- Swann Marx (LS2N, CNRS Nantes)
- Anthony Nouy (LMJL, Centrale Nantes)

# Contenu approximatif de l'exposé

- Lois de conservation paramétrées : cadre
- Problème des moments pour des fonctions discontinues
- Solutions à valeurs mesures et moments
- Problème des moments généralisé et hiérarchie de Lasserre
- Quelques exemples numériques
- La suite...

# Lois de conservation avec paramètres : définitions

Le but est d'approcher les solutions du problème

$$\begin{cases} \partial_t u(t, x, \xi) + \operatorname{div}_x f(u(t, x, \xi), \xi) = 0 & (t, x, \xi) \in \mathbb{R}_+ \times \mathbb{R}^n \times \Xi \\ u(0, x, \xi) = u_0(x, \xi) & (x, \xi) \in \mathbb{R}^n \times \Xi \end{cases}$$

où  $\Xi \subset \mathbb{R}^p$  est l'espace des paramètres avec mesure de probabilité  $\rho$ .

## Cadre

- $u_0 \in L^\infty(\Xi, L^\infty(\mathbb{R}^n))$
- $f$  est localement bornée et de classe  $C^1$  par rapport à  $u$  et  $\rho$ -ps

## Definition (Solution entropique paramétrique)

$\rho$ -ps : fonction  $u(\xi) \in L^\infty(\mathbb{R}_+ \times \mathbb{R}^n)$  tq pour tout couple entropique  $(\eta, q(\xi))$ ,

$$\int_{\mathbb{R}_+} \int_{\mathbb{R}^n} (\eta(u) \partial_t \varphi + q(u, \xi) \cdot \nabla_x \varphi) dx dt + \int_{\mathbb{R}^n} \varphi(0, x) \eta(u_0(\xi)) dx \geq 0$$

for all  $\varphi \in C_0^1(\mathbb{R}_+ \times \mathbb{R}^n)^+$ .

# Lois de conservation avec paramètres : définitions

Définition “affaiblie” :

Definition (Solution entropique paramétrique faible)

Fonction  $u \in L^\infty(\mathbb{R}_+ \times \mathbb{R}^n \times \Xi)$  tq pour tout couple entropique  $(\eta, q(\xi))$ ,

$$\int_{\mathbb{R}_+} \int_{\mathbb{R}^n} \int_{\Xi} (\eta(u) \partial_t \varphi + q(u, \xi) \cdot \nabla_x \varphi) d\rho(\xi) dx dt + \int_{\mathbb{R}^n} \int_{\Xi} \varphi(0, x) \eta(u_0(\xi)) d\rho(\xi) dx \geq 0$$

for all  $\varphi \in C(\Xi, C_0^1(\mathbb{R}_+ \times \mathbb{R}^n))^+$ .

- Si on suppose de plus que  $u \in L^\infty(\Xi, L^\infty(\mathbb{R}_+ \times \mathbb{R}^n))$ , alors on a l'équivalence entre les deux notions. [Mishra, Schwab, 2012]...
- Dans ce cas, **existence et unicité** standard.

# Approximation numérique

## Difficultés

- Problème non linéaire
- Les discontinuités en  $x$  se propagent en  $\xi$
- Minimiser les évaluations par rapport à  $\xi$
- Échec des méthodes d'approximation "classiques"
- Méthodes de type Monte-Carlo : convergence lente
- Extension de méthodes spatiales : lourd. . .

**Ici :** tentative exploratoire très très différente issue de

S. Marx, T. Weisser, D. Henrion, J.B. Lasserre

*A moment approach for entropy solutions to nonlinear hyperbolic PDEs*

Mathematical Control and Related Fields, Vol. 10, 2020

# Problème des moments classique

Soit la fonction  $f$  à déterminer

$$f: X \text{ compact de } \mathbb{R}^{p-1} \longrightarrow Y \text{ compact de } \mathbb{R}$$
$$x = (x_1, \dots, x_{p-1}) \longmapsto y = f(x_1, \dots, x_{p-1})$$

Soit  $b_\alpha(x, y) = (xy)^\alpha$ ,  $\alpha \in \mathbb{N}^p$ ,  $|\alpha| \leq d$  (d'autres polynômes sont possibles) et la **matrice des moments associée** :

$$M_{f,d} := \int_X b(x, f(x)) b(x, f(x))^\top dx.$$

**Problème.** Connaissant uniquement la matrice des moments  $M_{f,d}$ , calculer une approximation convergente  $f_d$  de  $f$  quand  $d \rightarrow \infty$ .

## Formulation faible du problème des moments

**Idée.** Au lieu de la fonction, on cherche à déterminer son **graphe**

$$G_f := \{(x, y), x \in X, y = f(x)\} \subset X \times Y$$

et correspond au support de la **mesure** (mesure d'occupation)

$$d\mu(x, y) = \mathbf{1}_X(x) dx \delta_{f(x)}(dy)$$

Alors la matrice des moments devient

$$M_{f,d} = M_{\mu,d} := \int_X b(x, y) b(x, y)^\top d\mu(x, y)$$

→ Problème d'**optimisation linéaire** sur la mesure d'occupation  $\mu$

**Rq.** Si on désintègre la mesure  $\mu$ , on obtient la mesure de Young  $x \mapsto \delta_{f(x)}$ .

# Approximation du graphe

Jean-Bernard Lasserre, Didier Henrion, Édouard Pauwels, Swann Marx...

- Données :

$$M_{\mu,d} := \int_X b(x,y)b(x,y)^\top d\mu(x,y)$$

- Noyau de Christoffel–Darboux étendu :

$$q_{\mu,d}(x,y) = b(x,y)^\top M_{\mu,d}^\dagger b(x,y)$$

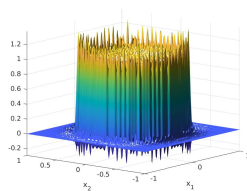
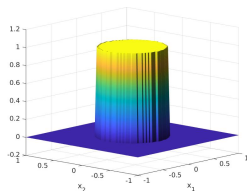
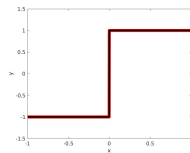
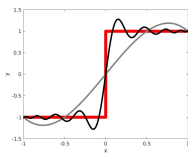
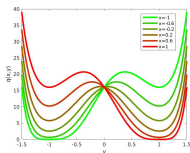
- C'est une somme de carrés de polynômes (SOS)
- Ses courbes de niveau approchent le support de  $\mu$  quand  $d \rightarrow \infty$
- Construction de l'approximation :

$$f_d(x) := \min \left\{ \arg \min_{y \in Y} q_{\mu,d}(x,y) \right\}$$

# Résultat et exemples

S. Marx, E. Pauwels, T. Weisser, D. Henrion, J.-B. Lasserre  
*Semi-algebraic approximation using Christoffel-Darboux kernel*  
Constructive Approximation, Vol. 54, 2021

Convergence en norme  $L^1$  et ponctuelle aux points de continuité de  $f$



# Retour aux lois de conservation

Stratégie :

- Application de la méthode, a priori adaptée aux **solutions discontinues**
- Reformulation du problème initial comme un **problème aux moments**
  - $X$  et  $Y$  doivent être des compacts
  - Passage aux mesures de Young (à la DiPerna)
  - Problème polynomial : flux, entropie, fonctions test. . .
- Noyau de **Christoffel–Darboux** et extraction :  
solution approchée  $u_d(t, x, \xi)$  pour tout  $(t, x, \xi) \in \mathbf{T} \times \mathbf{X} \times \Xi$

Et maintenant, les détails. . .

# Formulation sur des compacts

Les compacts :

- $\mathbf{T} \times \mathbf{X} \times \Xi = [0, T] \times [-1, 1]^n \times [0, 1]^p$
- $\mathbf{U} = [-\|u_0\|_\infty, \|u_0\|_\infty]$

On se restreint à des données initiales  $u_0$  pour éviter toute interaction avec  $\partial\mathbf{X}$  :

- Soit  $\bar{u}_0 \in L^\infty(\Xi, L^\infty(\mathbb{R}^n))$
- Soit  $\bar{u} \in L^\infty(\mathbb{R}_+ \times \mathbb{R}^n \times \Xi)$  la solution entropique paramétrique faible

**[H]**  $\exists \varepsilon > 0$  tq  $\forall (t, \xi) \in \mathbf{T} \times \Xi$ ,  $\bar{u}(t, \cdot, \xi) = \bar{u}_0(\cdot, \xi)$  sur  $(\partial\mathbf{X} + B(0, \varepsilon)) \cap \mathbf{X}$

## Le problème mixte

- Solution entropique paramétrique faible
- Données initiales :  $u_0 = \bar{u}_0|_{\mathbf{X}}$  où  $\bar{u}_0$  vérifie **[H]**.
- Condition de Dirichlet au bord  $\partial\mathbf{X}$  :
  - On suppose que la trace  $\gamma(u_0)$  sur  $\partial\mathbf{X}$  existe
  - On impose  $u = \gamma(u_0)$  sur  $\mathbf{T} \times \partial\mathbf{X} \times \Xi$

# Solutions à valeur mesure entropique paramétrique

On cherche

$$\begin{aligned}\mu: \mathbf{T} \times \mathbf{X} \times \Xi &\longrightarrow \mathcal{M}_+(\mathbf{U}) \\ (t, x, \xi) &\longmapsto \mu_{(t,x,\xi)}\end{aligned}$$

tel que pour tout couple entropique  $(\eta, q(\xi))$  et  $\varphi \in C(\Xi, C^1(\mathbf{T} \times \mathbf{X}))^+$ ,

$$\begin{aligned}&\int_{\mathbf{T}} \int_{\mathbf{X}} \int_{\Xi} [\partial_t \varphi \langle \mu_{(t,x,\xi)} | \eta \rangle + \nabla_x \varphi \cdot \langle \mu_{(t,x,\xi)} | q(\xi) \rangle] d\rho(\xi) dx dt \\ &+ \int_{\mathbf{X}} \int_{\Xi} \varphi|_{t=0} \langle \delta_{u_0} | \eta \rangle d\rho(\xi) dx - \int_{\mathbf{X}} \int_{\Xi} \varphi|_{t=T} \langle \mu_{(T,x,\xi)} | \eta \rangle d\rho(\xi) dx \\ &- \int_{\mathbf{T}} \int_{\partial \mathbf{X}} \int_{\Xi} \varphi \langle \delta_{\gamma u_0} | q(\xi) \rangle \cdot n_{\partial \mathbf{X}} d\rho(\xi) d\sigma(x) dt \geq 0.\end{aligned}$$

“Extension” de la définition de [DiPerna 1985] (+ [Otto 1996], [Panov 2011]. . .)

## Vers un problème sur les moments : une mesure globale

Soit  $\mathbf{K} = \mathbf{T} \times \mathbf{X} \times \Xi \times \mathbf{U}$ .

On définit  $\nu \in \mathcal{M}_+(\mathbf{K})$  par

$$d\nu(t, x, \xi, \mathbf{y}) = dt dx d\rho(\xi) \mu_{(t,x,\xi)}(d\mathbf{y})$$

On peut alors réécrire les inégalités précédentes sur  $\nu$  comme :

Pour tout couple entropique  $(\eta, q(\xi))$  et  $\varphi \in C(\Xi, C^1(\mathbf{T} \times \mathbf{X}))^+$ ,

$$\mathcal{G}(\varphi, \nu, (\eta, q)) \geq 0$$

(On omet la dépendance aux données initiale et au bord)

**Rq.** On peut en déduire la loi de conservation : pour tout  $\psi \in C(\Xi, C^1(\mathbf{T} \times \mathbf{X}))$ ,

$$\mathcal{G}(\psi, \nu, \text{id}, f) = 0.$$

**Problème.** Comment en déduire la matrice des moments de  $\nu$  ?

# Le problème des moments généralisé (GMP)

Moments de  $\nu$  :  $m_\alpha = \int_K X^\alpha d\nu, \quad \alpha \in \mathbb{N}^n$

**GMP** : problème d'optimisation linéaire de dimension infinie

- $K := \{X \in \mathbb{R}^n; k_1(X) \geq 0, \dots, k_m(X) \geq 0\}$   $k_i \in \mathbb{R}[X]$
- **Inconnue(s)** : mesure(s) de Borel  $\nu \in \mathcal{M}(K)_+$
- **Fonctionnelle** dépendant des **moments** de  $\nu$  :  $p_0 \in \mathbb{R}[X]$

$$\inf_{\nu \in \mathcal{M}(K)_+} \int_K p_0 d\nu$$

- Sous contrainte sur les **moments** de  $\nu$  :  $k = 1, 2, \dots, p_k \in \mathbb{R}[X]$

$$\int_K p_k d\nu \leq b_k, \quad k = 1, 2, \dots$$

## Reformulation sur les moments

Moments de  $\nu$  :  $m_\alpha = \int_K X^\alpha d\nu$ ,  $\alpha \in \mathbb{N}^n$

Soit  $p \in \mathbb{R}[X]$ . On note  $p = \sum_{\alpha \in \mathbb{N}^n} p_\alpha X^\alpha$ . Alors

$$\int_K p d\nu = \sum_{\alpha \in \mathbb{N}^n} p_\alpha m_\alpha =: \ell_{\mathbf{m}}(p)$$

Théorème de Riesz–Haviland (1923–36)

Le **GMP** est **équivalent** au problème linéaire sur les moments  $(m_\alpha)_\alpha$

$$\inf_{\mathbf{m} \in \mathbb{R}^{\mathbb{N}^n}} \ell_{\mathbf{m}}(p_0)$$

tel que  $\ell_{\mathbf{m}}(p_k) \leq b_k$ ,  $k = 1, 2, \dots$

$\ell_{\mathbf{m}}(p) \geq 0$  pour tout  $p \in \mathbb{R}[X]$  positif sur  $K$

# Hiérarchie de Lasserre

Jean-Bernard Lasserre

*Moments, Positive Polynomials and Their Applications.*

Imperial College Press, Covent Garden, London, UK (2009)

## Troncature convergente du GMP

- Putinar's Positivstellensatz & sommes de carrés  
Reformulation de la contrainte  $\ell_m(p), p|_K > 0$
- Matrice de localisation (moments d'ordre  $d$  pondérée par  $(k_j)$ )  
Troncature de la contrainte  $\ell_m(p), p|_K > 0$
- $d \rightarrow +\infty$  : Convergence vers un minimiseur du GMP
- Fonction de Christoffel-Darboux  
Si  $\nu = \delta_{f(X)}$ , reconstruction de  $f$  possible

[Marx, Weisser, Henrion, Lasserre 2020] Application à l'Équation de Burgers

# Retour sur les lois de conservation paramétrées

On cherche  $\nu \in \mathcal{M}_+(\mathbf{K})$  qui vérifie  $\mathcal{G}(\varphi, \nu, (\eta, q)) \geq 0$ .

## Problème des moments généralisé

- $\mathbf{T} = \{t(T - t) \geq 0\}$ , idem pour  $\mathbf{X}$  et  $\mathbf{U}$
- Famille de polynômes positifs  $\{\varphi^\alpha\}_{\alpha \in \mathcal{F}}$ ,  $\mathcal{F} \subset \mathbb{N}^{n+p+1}$
- Flux polynomial en  $y$  (Burgers, LWR...)
- Couples entropiques, au choix :
  - Entropies de Kruzhkov  $\eta(y) = |y - \kappa| = \begin{cases} y - \kappa & \text{si } y \geq \kappa \\ \kappa - y & \text{si } y \leq \kappa \end{cases}$
  - Une seule entropie convexe  $\eta(y) = y^2 \dots ???$
- On ajoute  $\mathcal{G}(\psi^\alpha, \nu, \text{id}, f) = 0$ , où  $\{\psi^\alpha\}_{\alpha \in \mathbb{N}^{n+p+1}}$  est une base de polynômes
- **Fonctionnelle à minimiser** “quelconque” : **trace de la matrice des moments**

→ Application de la hiérarchie de Lasserre !

# Reconstruction des quantités d'intérêt

## Hiérarchie de Lasserre

- Approximation des moments de la mesure  $\nu$
- Mesure  $\nu$  dont le support est le graphe de  $(t, x, \xi) \mapsto u(t, x, \xi)$

## Application du noyau de Christoffel–Darboux

- Récupération d'une approximation de  $u(t, x, \xi)$  pour tout  $(t, x, \xi) \in \mathbf{K}$

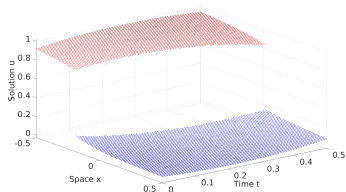
## Moments statistiques de la solution

- Estimation à partir de l'approximation de  $u$
- Calcul direct possible via une hiérarchie de Lasserre alternative

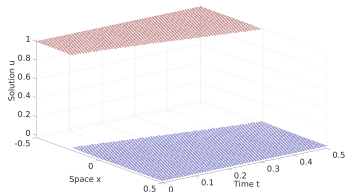
## Résultats numériques

- Équation de Burgers + position du pb de Riemann dépendant de  $\xi$
- Équation de Burgers avec  $f(u, \xi) = (\xi + 1)u^2/4$ ,  $\xi \in [0, 1]$ .
- Gloptipoly 3 [Henrion, Lasserre, Lofberg 2007]

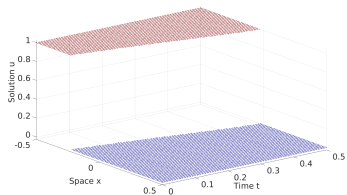
## Cas à paramètre fixé



(a)  $d = 2$

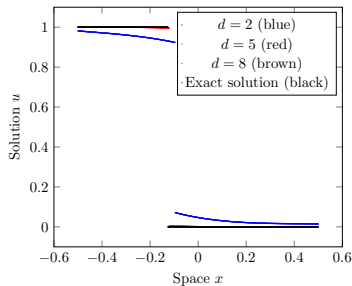


(b)  $d = 5$

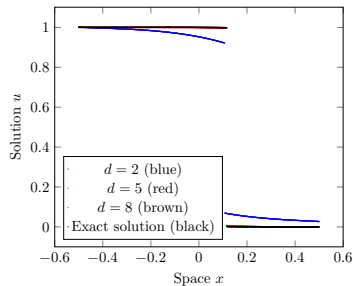


(c)  $d = 8$

## Cas à temps fixé

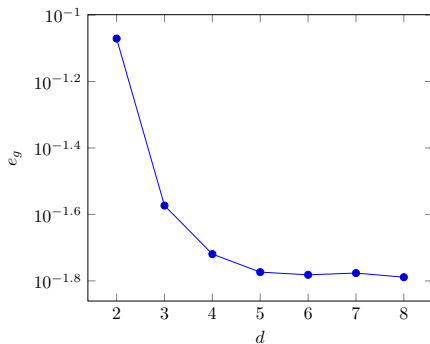


(a)  $\xi = 0$

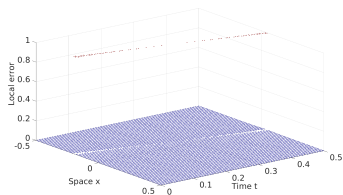


(b)  $\xi = 1$

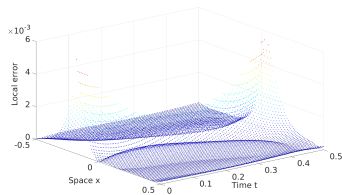
## Erreur globale en fonction du degré



# Répartition de l'erreur



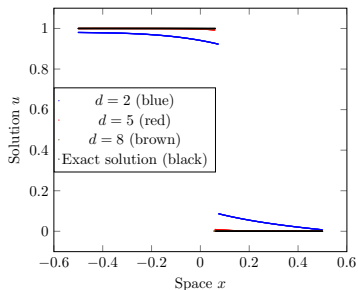
(a)  $z$  axis from 0 to 1



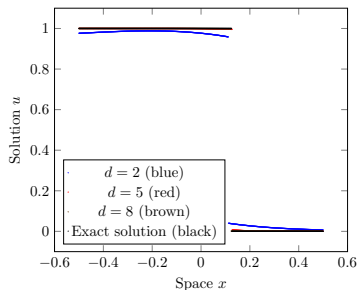
(b)  $z$  axis from 0 to  $6 \times 10^{-3}$

**Fig. 4:** Graph of the error  $\varepsilon(t, x) = |\widetilde{u}_5(t, x, 0.2) - u(t, x, 0.2)|$

# Flux paramétré

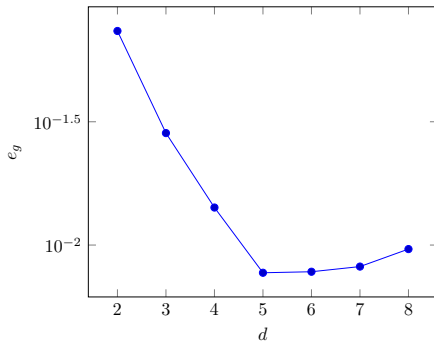


(a)  $\xi = 0$

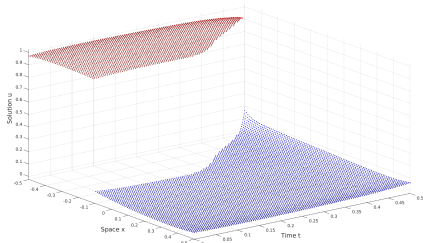
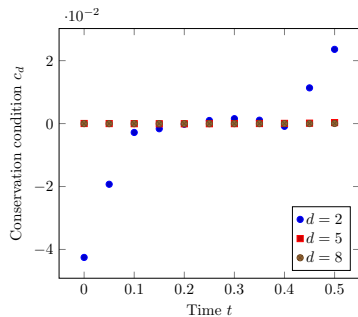


(b)  $\xi = 1$

## Flux paramétré : convergence



# Conservation imposée ou pas



# Conclusion

- Méthode numérique sans maillage
- Approximation des solutions à valeurs mesure (avec unicité)
- Problème d'optimisation linéaire
- Résolution globale sur  $\mathbf{T} \times \mathbf{X} \times \mathbf{\Xi}$
  
- Algorithme lent et sensible (malédiction de la dimension)
  - Autres algorithmes. . .
- Structure de la matrice des moments?
  - [Mula, Nouy 2022], travail en cours pour le transport. . .
- Autre chose que le problème de Cauchy?
  - Autres EDP plus faciles. . .